

нении глубины загрузки на $5 \div 10$ см относительно оптимальной (обеспечивающей максимум скорости частиц на выходе из трубы), скорость частиц меньше v_{\max} всего на 10 м/с.

Как видно из рис. 4 температура частиц не достигает температуры плавления $T_{\text{пл}}$ (штриховая линия) при любом значении L . Экспериментальные наблюдения подтвердили отсутствие разрушения этих частиц в процессе ускорения в отличие, например, от частиц ВК-25 [7].

Таким образом, проведенные опыты показали, что метод многоэкспоненциональной лазерной фоторегистрации может успешно применяться для решения различных задач, связанных с исследованием динамики частиц в высокоскоростном высокотемпературном потоке газа как в стволе, так и за его срезом; сопоставление экспериментальных и расчетных значений скорости свидетельствует о том, что предложенная математическая модель достаточно хорошо описывает процесс ускорения частиц за детонационной волной.

В заключение авторы считают своим приятным долгом выразить благодарность В. М. Титову, Т. П. Гавриленко и Ю. А. Николаеву за содействие работе, полезные обсуждения и критические замечания.

ЛИТЕРАТУРА

1. С. А. Ждан, В. И. Феденок. ФГВ, 1982, 18, 6, 103.
2. С. Б. Хендerson. РТК, 1976, 14, 6, 5.
3. Газодинамика и теплообмен при наличии химических реакций. М.: ИЛ, 1962.
4. А. М. Гладилин, Е. И. Карпиловский, А. Д. Корпев. ФГВ, 1978, 14, 1, 123.
5. А. М. Гладилин, С. С. Бартенев. ФГВ, 1980, 16, 2, 121.
6. Ю. А. Николаев, П. А. Фомин. ФГВ, 1982, 18, 1, 66.
7. В. М. Бойко, Т. П. Гавриленко, В. В. Григорьев и др. ФГВ, 1983, 19, 3.
8. В. М. Бойко, А. А. Каинаухов, В. Ф. Косарев, А. П. Папырин. ПМТФ, 1982, 3, 64.
9. Таблицы физических величин. Справочник/Под ред. И. К. Кикоина. М.: Атомиздат, 1976.

УДК 534.222.2

ПЕРЕХОДНЫЕ ПРОЦЕССЫ ПРИ УДАРНОМ ИНИЦИРОВАНИИ СПЛАВОВ ТРОТИЛ — ГЕКСОГЕН, ТРОТИЛ — ОКТОГЕН

С. А. Бордзиловский, В. Ф. Лобанов, С. М. Каражанов
(Новосибирск)

Ударное инициирование гетерогенных конденсированных ВВ характеризуется возникновением химической реакции в отдельных очагах («горячих» точках). Это явление определяет сложную структуру зоны энерговыделения, представляющую собой смесь сжатого ударной волной непроеагированного ВВ и продуктов реакции, веществ с различными физико-механическими свойствами. Математическое моделирование позволяет определять детальную картину газодинамического процесса в зоне реакции и дополняет экспериментальные данные.

Ранее в [1, 2] предложена методика численного моделирования процесса возбуждения детонации в однокомпонентном ВВ. Целью настоящей работы являлось исследование возможности применения этой методики для моделирования переходных процессов в ВВ, состоящих из компонентов с различной чувствительностью к ударному воздействию.

Основные положения математической модели.

1. За фронтом УВ исходное ВВ представляется в виде отдельных сферических частиц одинакового радиуса R_0 . Количество частиц в единице массы постоянно и равно N_0 .

2. Переход ВВ в ПД происходит в волне разложения. Скорость распространения фронта волны пропорциональна давлению ($v = ap$, $a = \text{const}$).

3. Компоненты смеси ВВ и ПД с массовыми концентрациями ($1 - q$) и q соответственно находятся в зоне химической реакции при одинаковом давлении, но с разными температурами. Тогда скорость «выгорания» ВВ в зоне реакции описывается зависимостью вида

$$\left. \begin{aligned} \dot{q}_I &= 3(a/R_0) \left(\frac{1-q}{1-\sigma} \right) (\rho/\rho_0)^{1/3} p \exp(-E^*/3E_T) \sigma^{2/3}, 0 < q < q^*, \\ q_{II} &= 3(a/R_0) (\rho_1/\rho_0) p \exp(-E^*/E_T) (1-q^*)^{1/3} (1-\sigma)^{2/3}, q^* \leq q \leq 1, \end{aligned} \right\} \quad (1)$$

где ρ_0 , ρ_1 , ρ_2 — плотность ВВ и ПД соответственно; $E^* = \text{const}$; $\sigma = q\rho/\rho_2$; E_T — тепловая составляющая удельной внутренней энергии ВВ. Отметим, что п. 1 основных положений можно заменить предположением о наличии за фронтом УВ частиц кубической или тетрацидальной формы. При этом в уравнении «макрокинетики» (1) как показатель $2/3$, выражающий отношение удельной поверхности частицы к ее объему, так и коэффициент $3(a/R_0)$, не изменяется.

Известно, что скорость изменения давления в фиксированной точке заряда зависит от импеданса среды [3]:

$$\frac{\partial p}{\partial t} = -(\rho c)^2 \left[-p \frac{\partial q}{\partial t} + \frac{\partial V}{\partial t} \right], \quad (2)$$

где V — удельный объем. Для двухкомпонентной среды связь между импедансами согласно п. 3 и 4 определяется выражением

$$\frac{1}{(\rho c)^2} = \frac{1-q}{(\rho_1 c_1)^2} + \frac{q}{(\rho_2 c_2)^2}, \quad (3)$$

где c — скорость звука. Таким образом, в соответствии с (1) — (3) поведение вещества в зоне реакции есть функция «макрокинетики» и параметров уравнений состояния отдельных компонентов.

Уравнения состояния, применяемые в расчетах, выбраны в форме Ми — Грюнайзена. В качестве «холодной» составляющей давления (p_x) в ВВ использована изэнтропа в виде уравнения Тэта, проходящая через начальное состояние:

$$p_x = \frac{\rho_0 c_0^2}{n} \left[\left(\frac{\rho_1}{\rho_0} \right)^n - 1 \right], \quad (4)$$

где $n \approx 4b - 1$; b — коэффициент в выражении $D = a + bu$. Для ПД использована изэнтропа разгрузки из состояния Чепмена — Жуге стационарной детонации. Коэффициент Грюнайзена для ВВ принимался постоянным, близким к среднему значению в области нормальной детонации. В уравнении состояния ПД коэффициенты определялись в соответствии с [4]. Уточнение выбранных констант в уравнениях состояния, а также подбор двух констант в уравнении «макрокинетики» проводились при сопоставлении расчетных и экспериментальных зависимостей $p(t)$. Чтобы уменьшить зависимость расчета от разброса таких параметров, как входное давление инициирующей ударной волны, плотность образцов, соединение велось с набором из четырех профилей давления, полученных в одном эксперименте. Первый профиль использовался в расчете в качестве граничного условия.

Постановка экспериментов. Образцы исследуемых ВВ из сплавов тротил — гексоген (ТГ 50/50) и тротил — октоген (ТО 34/66) нагружались зарядом ВВ с плосковолновой линзой через аттенюатор, состоящий из преград с различным динамическим импедансом (парафин — медь) [2]. Толщины преград в аттенюаторе выбраны так, что вторая УВ приходила на поверхность раздела аттенюатор — образец не раньше чем через 3,6 мкс после входа основной УВ в образец. Скорость спада давления за фронтом УВ составляла 30% за 3,5 мкс. Размеры сборки и образцов

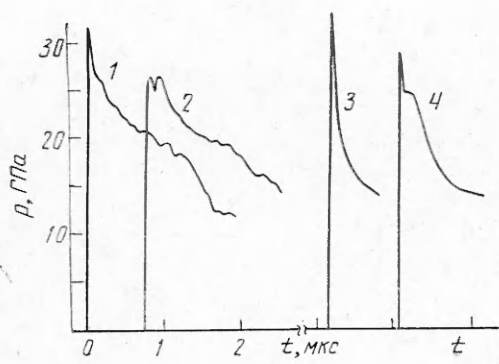


Рис. 1. Диаграмма $p(t)$ для ТГ 50/50 в режиме, близком к стационарному.
1, 2 — эксперимент, расстояние между датчиками 6 мм; 3, 4 — расчетные кривые.

обеспечивали отсутствие влияния боковых волн разрежения на фронт инициирующей ударной волны до 35 мм. Плотность образцов ТГ $1,69 \pm 0,01$ г/см³, ТО $1,78 \pm 0,01$ г/см³. Конструкция манганиновых датчиков описана в [2]. Датчики изолировались с обеих сторон пленкой из фторопласта и приклеивались эпоксидной смолой. Толщина изоляции увеличивалась от 0,1 мм с каждой стороны на первом датчике до 0,25—0,35 мм на последнем. Для контроля работы системы регистрации проводились измерения давлений в составе ТГ 50/50 в стационарном режиме детонации. Датчики располагались последовательно на расстоянии 55 мм от генератора плоской волны. Полная толщина измерительного пакета (датчик с изолирующими прокладками) в 0,65 мм, как правило, обеспечивала запись детонационного давления, а в ряде экспериментов и части химического пика (рис. 1). Положение каждого из экспериментальных профилей давления для сравнения с расчетом скорректировано на время прохождения инициирующей УВ по измерительным пакетам и соответствует ее движению по ВВ без датчиков. Процесс развития детонации качественно хорошо повторяется. Экспериментальные профили давления вместе с расчетными приведены на рис. 2, а, б.

Обсуждение результатов. В обоих рассматриваемых случаях получено удовлетворительное качественное и количественное совпадение расчетных и экспериментальных профилей $p(t)$. Как следует из вида уравнения «макрокинетики», чувствительность ВВ, т. е. характер ускорения детонационной волны, определяется значениями параметров $3(a/R_0)$ и E^* . Если первый в основном отражает структуру заряда, т. е. параметр, мало отличающийся у большинства литых ВВ, то E^* для использованных компонентов отличается существенно. Некоторое эффективное значение E^* , определенное для смеси и позволяющее удовлетворительно описывать ускорение детонационной волны, т. е. параметры на ее фронте, может давать отклонение расчета от эксперимента в последующих фазах течения за фронтом. Основное расхождение между расчетом и экспериментом наблюдается в конце переходной зоны и может быть вызвано следующими причинами.

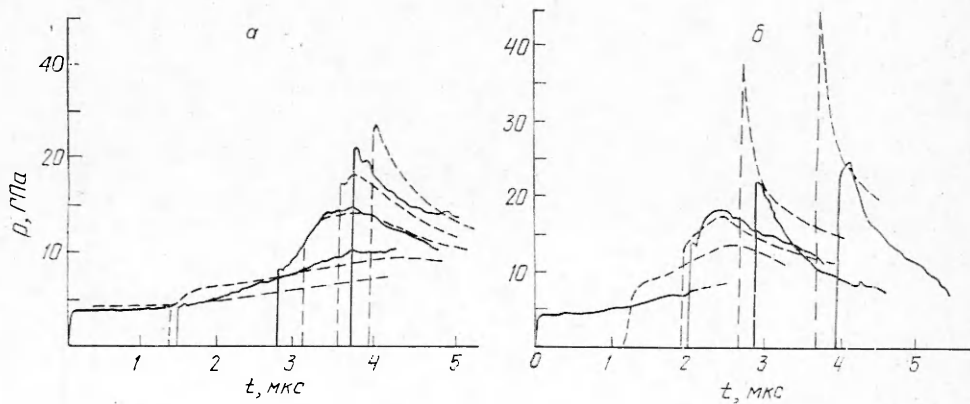


Рис. 2. Диаграммы $p(t)$ для ТГ 50/50 (а) и ТО 34/66 (б).
— — — расчет; — — эксперимент; а) положение датчиков $h=0, 5, 10$ и 15.1 мм; б) $h=0, 8.23, 13.30$ и 21.52 мм.

Регистрируемое давление оказывается меньше расчетного из-за того, что измерительный пакет не разрешает часть фронта детонационной волны. Возможно возмущение формирующейся детонационной волны измерительными прослойками.

Последний эффект в расчете можно смоделировать резким уменьшением члена $\partial q/\partial t$ в уравнении (2), так как инертная среда характеризуется тем, что $\partial q/\partial t = 0$. Зависимость $p(t)$ за фронтом УВ в этом случае приведена на рис. 1 (линии 3 — до и 4 — после кратковременного уменьшения $\partial q/\partial t$). Расчет показывает, что введение «инертной» прокладки даже при совпадении импедансов в зоне реакции приводит к более резкому спаду давления за фронтом УВ с последующим нарушением монотонного характера изменения давления.

В режиме стационарной детонации и в конце преддетонационного участка вблизи фронта детонационной волны наблюдаются колебания давления, отмечавшиеся, например, в [5, 6] (см. рис. 1, 2). Имеющиеся данные не позволяют однозначно ответить па вопрос, вызваны ли они рассогласованием импедансов измерительного пакета и ВВ или же связаны с возмущением детонационной волны, отмеченным выше. Рассмотрение этого явления представляет самостоятельный интерес.

ЛИТЕРАТУРА

1. В. Ф. Лобанов. ФГВ, 1980, 16, 6, 113.
2. В. Ф. Лобанов, С. М. Караканов, С. А. Бордзиловский. ФГВ, 1982, 18, 3, 90.
3. В. С. Трофимов.— В кн.: Детонация. Вып. II. Черноголовка: ОИХФ АН СССР, 1981.
4. Ф. А. Баум, Л. П. Орленко и др. Физика взрыва. М.: Наука, 1975.
5. K. Burrows, D. K. Chilvers a. o. Sixth Symp. on Detonation. ACR — 221, Arlington, Virginia, 1976.
6. Л. В. Альтшулер, В. В. Балалаев и др.— В кн.: Детонация. Вып. II. Черноголовка: ОИХФ АН СССР, 1981.

УДК 662.222

О МЕХАНИЗМЕ ДЕТОНАЦИИ ГАЗОНАПОЛНЕННЫХ ВОДНЫХ ГЕЛЕЙ

В. Э. Анников, Б. Н. Кондриков, И. Н. Корнеева, С. Н. Пузырев
(Москва)

Детонация водополненных составов на основе желатинизированных растворов окислителей и горючих [1—3] распространяется по механизму, заключающемуся в том, что при действии ударной волны пузырьки газа, которые вводятся в состав специально или вносятся в него вместе с порошкообразными компонентами, сжимаются, приводя к возникновению горячих точек или очагов разогрева. Горение, возникшее в очагах разогрева, распространяется на весь объем ВВ [4—6]. Зная число очагов и скорость горения, легко рассчитать основные характеристики процесса, скажем, критический диаметр или предельное давление инициирования.

К сожалению, скорость горения в детонационной волне практически неизвестна. Даже весьма грубые оценки ее требуют применения чрезвычайно сложной оптической и электронной аппаратуры [6]. Не вполне ясно также, как рассчитать в обычном порошкообразном прессованном заряде число горячих точек. Наглядно показано [7], что с исходным числом частиц оно не совпадает — частички интенсивно разрушаются при действии ударной волны.

Водосодержащие газонаполненные системы обеспечивают уникальную возможность проверки предположений о механизме детонационного процесса. С помощью добавок порофоров или механического аэрирования,